



Министерство науки и высшего образования Российской Федерации
федеральное государственное бюджетное образовательное учреждение
высшего профессионального образования
«Московский государственный технический университет имени
Н.Э. Баумана (национальный исследовательский университет)»
(МГТУ им. Н.Э. Баумана)

ФАКУЛЬТЕТ «Робототехники и комплексной автоматизации»
КАФЕДРА «Системы автоматизированного проектирования (РК-6)»

ОТЧЕТ О ВЫПОЛНЕНИИ ЛАБОРАТОРНОЙ РАБОТЫ по дисциплине «Методы математического моделирования сложных процессов и систем»

Студент:	Юрченко Александр Алексеевич
Группа:	РК6-11М
Тип задания:	лабораторная работа
Тема:	Модель, описывающая реакцию па- циента на лекарственный препарат

Студент

подпись, дата

Юрченко А.А.
Фамилия, И.О.

Преподаватель

подпись, дата

Соколов А.П.
Фамилия, И.О.

Москва, 2025

Содержание

Модель, описывающая реакцию пациента на лекарственный препарат	3
Задание на лабораторную работу	3
Цель выполнения лабораторной работы	5
Выполненные задачи	5
1 Реализация численных методов решения СОДУ	5
Метод Рунге-Кутты 4-го порядка	5
Метод Адамса-Башфорта-Моултона 4-го порядка	6
Метод Милна-Симпсона	8
2 Реализация сборки библиотек динамической компоновки	10
3 Получение аналитического решения СОДУ	12
4 Решение задачи Коши	15
5 Сравнение результатов	20
6 Постановка обратной задачи и метод решения	21
Заключение	24
Список использованных источников	24

Модель, описывающая реакцию пациента на лекарственный препарат

Задание на лабораторную работу

Требуется(базовая часть).

1. Программно реализовать требуемые в варианте задания численные методы решения СДУ на языке C++, собрать соответствующие библиотеки динамической компоновки (каждый метод в своей библиотеке). Объяснить каким образом разработанная программа позволит подключать реализации других методов решения СДУ без перекомпиляции исходных кодов.

2. Численно решить поставленную задачу Коши с помощью реализованного ПО, используя разные численные методы.

3. Полученные результаты представить графически на одной координатной плоскости и включить в отчёте.

4. Результат решения задачи одним методом должен сохраняться в виде одного текстового файла с разделителями – .csv формат (при сдаче должно быть представлено).

Требуется (продвинутая часть).

5. Если возможно, аналитически решить поставленную задачу Коши (эталонную) и далее аналитическое решение считать эталонным. В случае невозможности получить аналитическое решение объяснить причину и далее в качестве эталонного решения использовать численное решение эталонной СДУ, определённой согласно варианту.

6. Провести сравнение численных решений с эталонным (результат представить графически).

7. Обеспечить возможность определять неточно значение двух скалярных входных параметров.

8. Представить в отчёте описание алгоритма решения поставленной задачи при двух интервально заданном параметре. Описать каким образом возможно доработать предложенный алгоритм для случая произвольного числа скалярных параметров, заданных в виде их интервальных оценок.

Дано:

$$\begin{cases} \frac{dy_1}{dt} = -k_{abs} \cdot y_1; \\ \frac{dy_2}{dt} = k_{abs} \cdot y_1 - (k_1 + k_{el}) \cdot y_2 + k_2 \cdot y_3; \\ \frac{dy_3}{dt} = k_1 \cdot y_2 - k_2 \cdot y_3; \\ \frac{dx_1}{dt} = k_{11} \cdot y_2 - k_{12} \cdot x_1 + k_{13}; \\ \frac{dx_2}{dt} = k_{21} \cdot y_2 - k_{22} \cdot x_2 + k_{23}; \\ \frac{dx_3}{dt} = k_{31} \cdot y_2 - k_{32} \cdot x_3 + k_{33}. \end{cases} \quad (1)$$

В зависимости от различных комбинаций коэффициентов k модель (1) описывает реакцию пациента на лекарственный препарат для случаев без прогрессирования заболевания M^- и с прогрессированием M^+ (Табл. 1).

Таблица 1. Значения коэффициентов k для случаев с и без прогрессирования заболевания

Коэффициент	Значение, M^-	Значение, M^+
k_{abs}	1.029	2.481
k_{el}	0.670	0.649
k_1	0.118	0.949
k_2	1.981	2.757
k_{11}	0.201	2.900
k_{12}	0.295	0.466
k_{13}	8.998	1.376
k_{21}	0.138	0.531
k_{22}	0.347	0.869
k_{23}	0.913	2.814
k_{31}	0.687	1.490
k_{32}	0.580	1.666
k_{33}	2.343	7.060

Требуется

1. Реализовать следующие численные методы решения СОДУ: а) Рунге-Кутты 4-го порядка, б) Адамса-Башфорта-Моултона 4-го порядка, в) Милна-Симпсона.
2. Полученные графики зависимостей $x_i(t)$ при разных комбинациях k (для M^- , M^+) выводить на одной координатной плоскости.
3. Для случаев интервально задаваемых параметров: поставить обратные задачи идентификации комбинаций коэффициентов k моделей M^- и M^+ . В качестве эталон-

ных решений использовать получаемые в результате решения прямых задач с коэффициентам, заданными условием задания.

4. Предложить метод решения обратной задачи и описать его в отчете.

Цель выполнения лабораторной работы

Целью данной работы является изучение принципов создания библиотек динамической компоновки на примере решения СОДУ различными численными методами, реализуемыми независимо в виде функций, экспортируемых из данных библиотек.

Выполненные задачи

1. На языке программирования C++ реализованы функция, возвращающая дискретную траекторию системы ОДУ, где дискретная траектория строится с помощью метода Рунге-Кутты 4-го порядка.
2. На языке программирования C++ реализована функция, возвращающая дискретную траекторию системы ОДУ, где дискретная траектория строится с помощью метода Адамса-Башфорта-Моултона 4-го порядка.
3. На языке программирования C++ реализована функция, возвращающая дискретную траекторию системы ОДУ, где дискретная траектория строится с помощью метода Милна-Симпсона.
4. На языке программирования Python реализована программа для вывода траектории системы ОДУ на координатной плоскости.
5. Для каждого из реализованных методов численно найдена траектория заданной динамической системы (??). Произведено сравнение результатов каждого метода.

1 Реализация численных методов решения СОДУ

Метод Рунге-Кутты 4-го порядка

Формулировка метода Рунге-Кутты 4-го порядка для системы ОДУ 1-го порядка имеет вид:

$$\begin{aligned} \mathbf{w}_0 &= \boldsymbol{\alpha}, \\ \mathbf{k}_1 &= h \cdot \mathbf{f}(t_i, \mathbf{w}_i), \\ \mathbf{k}_2 &= h \cdot \mathbf{f}(t_i + \frac{h}{2}, \mathbf{w}_i + \frac{1}{2}\mathbf{k}_1), \\ \mathbf{k}_3 &= h \cdot \mathbf{f}(t_i + \frac{h}{2}, \mathbf{w}_i + \frac{1}{2}\mathbf{k}_2), \\ \mathbf{k}_4 &= h \cdot \mathbf{f}(t_i + h, \mathbf{w}_i + \mathbf{k}_3), \\ \mathbf{w}_{i+1} &= \mathbf{w}_i + \frac{1}{6}(\mathbf{k}_1 + 2\mathbf{k}_2 + 2\mathbf{k}_3 + \mathbf{k}_4), i = 0, 1, \dots, m-1, \end{aligned} \quad (2)$$

где $\boldsymbol{\alpha}$ – вектор начальных условий $y_1(a) = \alpha_1, y_2(a) = \alpha_2, \dots, y_n(a) = \alpha_n$ размера n , а \mathbf{w}_i – вектор решений ОДУ размера n на $i-1$ шаге.

Реализована функция, которая получает на вход указатель на систему дифференциальных уравнений, вектор начальных условий, время начала, время конца, шаг и указатель на дескриптор .csv файла для записи дискретных решений.

Программная реализация данного метода в качестве функции в библиотеке динамической компоновки представлена в листинге 1:

Листинг 1: Определение функции RungeKutta численного решения задачи Коши для системы ОДУ методом Рунге-Кутты 4-го порядка.

```

void RungeKutta(std::vector<double> f(double, std::vector<double>&), std::vector<double>& y,
double t0, double t1, double h, std::ofstream* csv)
{
    double t = t0;
    for (int i=0; i<y.size()-1; i++)
        *csv << y[i] << ", ";
    *csv << y[y.size()-1] << std::endl;

    while (t < t1)
    {
        std::vector<double> k1 = f(t, y);
        std::vector<double> yk1;
        for (int i=0; i<y.size(); i++)
            yk1.push_back(y[i]+h*k1[i]/2);
        std::vector<double> k2 = f(t + h / 2, yk1);
        std::vector<double> yk2;
        for (int i=0; i<y.size(); i++)
            yk2.push_back(y[i]+h*k2[i]/2);
        std::vector<double> k3 = f(t + h / 2, yk2);
        std::vector<double> yk3;
        for (int i=0; i<y.size(); i++)
            yk3.push_back(y[i]+h*k3[i]/2);
        std::vector<double> k4 = f(t + h, yk3);

        for (int i=0; i<y.size(); i++)
        {
            double delta = h / 6 * (k1[i] + 2 * k2[i] + 2 * k3[i] + k4[i]);
            y[i] += delta;
        }
        t += h;
        for (int i=0; i<y.size()-1; i++)
            *csv << y[i] << ", ";
        *csv << y[y.size()-1] << std::endl;
    }
}

```

Метод Адамса-Башфорта-Моултона 4-го порядка

Метод Адамса-Башфорта-Моултона является методом, построенным по схеме предиктор-корректор за счет комбинации многошаговых методов Адамса-Башфорта и Адамса-Моултона одного порядка точности, что повышает устойчивость численной схемы. Например, для методов 4-го порядка мы получаем Метод Адамса-Башфорта-Моултона 4-го порядка следующего вида:

$$\begin{aligned}
 \mathbf{w}_0 &= \boldsymbol{\alpha}_0, \mathbf{w}_1 = \boldsymbol{\alpha}_1, \mathbf{w}_2 = \boldsymbol{\alpha}_2, \mathbf{w}_3 = \boldsymbol{\alpha}_3, \\
 \tilde{\mathbf{w}}_{i+1} &= \mathbf{w}_i + \frac{h}{24} \left[55 \mathbf{f}(t_i, \mathbf{w}_i) - 59 \mathbf{f}(t_{i-1}, \mathbf{w}_{i-1}) + 37 \mathbf{f}(t_{i-2}, \mathbf{w}_{i-2}) - 9 \mathbf{f}(t_{i-3}, \mathbf{w}_{i-3}) \right], \\
 \mathbf{w}_{i+1} &= \mathbf{w}_i + \frac{h}{24} \left[9 \mathbf{f}(t_{i+1}, \tilde{\mathbf{w}}_{i+1}) + 19 \mathbf{f}(t_i, \mathbf{w}_i) - 5 \mathbf{f}(t_{i-1}, \mathbf{w}_{i-1}) + \mathbf{f}(t_{i-2}, \mathbf{w}_{i-2}) \right].
 \end{aligned} \tag{3}$$

Реализованная функция принимает указатель на систему дифференциальных уравнений, вектор начальных условий, начальный и конечный моменты времени, шаг интегрирования и указатель на открытый .csv-файл, в который записываются значения решения на каждом шаге. Первые три шага вычисляются по схеме Рунге–Кутты 4-го порядка; далее вступает в действие схема предиктор-корректор (3)

Программная реализация данного метода в качестве функции в библиотеке динамической компоновки представлена в листинге 2:

Листинг 2: Определение функции `Adams_Bashforth_Moulton` численного решения задачи Коши для системы ОДУ методом Адамса-Башфорта-Моултона 4-го порядка.

```
void Adams_Bashforth_Moulton(std::vector<double> f(double, std::vector<double>&),
                             std::vector<double>& y,
                             double t0, double t1, double h,
                             std::ofstream* csv)
{
    // запись начального вектора
    for (int i = 0; i < y.size() - 1; ++i) *csv << y[i] << ", ";
    *csv << y.back() << '\n';

    double t = t0;
    std::vector<double> y_1, y_2, y_3; // предыдущие значения y
    y_1.resize(y.size());
    y_2.resize(y.size());
    y_3.resize(y.size());

    // Первые 4 шага - Рунге-Кутта 4-го порядка
    for (int step = 0; step < 3; ++step)
    {
        std::vector<double> k1 = f(t, y);
        std::vector<double> yk1(y.size());
        for (size_t i = 0; i < y.size(); ++i) yk1[i] = y[i] + h * k1[i] / 2.0;

        std::vector<double> k2 = f(t + h / 2.0, yk1);
        std::vector<double> yk2(y.size());
        for (size_t i = 0; i < y.size(); ++i) yk2[i] = y[i] + h * k2[i] / 2.0;

        std::vector<double> k3 = f(t + h / 2.0, yk2);
        std::vector<double> yk3(y.size());
        for (size_t i = 0; i < y.size(); ++i) yk3[i] = y[i] + h * k3[i] / 2.0;

        std::vector<double> k4 = f(t + h, yk3);

        for (size_t i = 0; i < y.size(); ++i)
            y[i] += h / 6.0 * (k1[i] + 2 * k2[i] + 2 * k3[i] + k4[i]);

        // сохраняем историю
        if (step == 0) y_3 = y;
        else if (step == 1) y_2 = y;

        t += h;
        for (size_t i = 0; i < y.size() - 1; ++i) *csv << y[i] << ", ";
        *csv << y.back() << '\n';
    }

    // Основной цикл: предиктор + корректор АМ-4 (одна итерация)
    while (t < t1)
    {
        std::vector<double> k1 = f(t, y);
        std::vector<double> k2 = f(t - h, y_3);
        std::vector<double> k3 = f(t - 2 * h, y_2);
```

```

std::vector<double> k4 = f(t - 3 * h, y_1);

std::vector<double> y_pred(y.size());
for (size_t i = 0; i < y.size(); ++i)
    y_pred[i] = y[i] + h / 24.0 * (55 * k1[i] - 59 * k2[i] + 37 * k3[i] - 9 * k4[i]);

// корректор Адамса-Мултона 4-го порядка
k1 = f(t + h, y_pred);
k2 = f(t, y);
k3 = f(t - h, y_3);
k4 = f(t - 2 * h, y_2);

y_1 = y_2;
y_2 = y_3;
y_3 = y;

for (size_t i = 0; i < y.size(); ++i)
    y[i] += h / 24.0 * (9 * k1[i] + 19 * k2[i] - 5 * k3[i] + k4[i]);

t += h;
for (size_t i = 0; i < y.size() - 1; ++i) *csv << y[i] << ", ";
*csv << y.back() << '\n';
}
}

```

Метод Милна-Симпсона

Метод Милна-Симпсона является методом, построенным по схеме предиктор-корректор за счет комбинации многошагового явного метода Милна и неявного многошагового метода Симпсона. Данный метод имеет следующий вид (4)

$$\begin{aligned}
 \mathbf{w}_0 &= \boldsymbol{\alpha}_0, \mathbf{w}_1 = \boldsymbol{\alpha}_1, \mathbf{w}_2 = \boldsymbol{\alpha}_2, \mathbf{w}_3 = \boldsymbol{\alpha}_3, \\
 \tilde{\mathbf{w}}_{i+1} &= \mathbf{w}_{i-1} + \frac{4h}{3} \left[2\mathbf{f}(t_i, \mathbf{w}_i) - \mathbf{f}(t_{i-1}, \mathbf{w}_{i-1}) + 2\mathbf{f}(t_{i-2}, \mathbf{w}_{i-2}) \right], \\
 \mathbf{w}_{i+1} &= \mathbf{w}_{i-1} + \frac{h}{3} \left[\mathbf{f}(t_{i+1}, \tilde{\mathbf{w}}_{i+1}) + 4\mathbf{f}(t_i, \mathbf{w}_i) + \mathbf{f}(t_{i-1}, \mathbf{w}_{i-1}) \right].
 \end{aligned} \tag{4}$$

Реализованная функция принимает указатель на систему дифференциальных уравнений, вектор начальных условий, начальный и конечный моменты времени, шаг интегрирования и указатель на открытый .csv-файл для записи дискретных решений. Программная реализация представлена в листинге 3.

Листинг 3: определение функции `Milne_Simpson` численного решения задачи Коши для системы ОДУ методом Милна-Симпсона.

```

void Milne_Simpson(std::vector<double> (*f)(double, const std::vector<double>&), std::vector<double>& y,
{
    for (int i=0; i<y.size()-1; i++)
        *csv << y[i] << ", ";
    *csv << y[y.size()-1] << std::endl;

    double t = t0;
    std::vector<double> yim3;
    yim3.resize(y.size());
    std::vector<double> yim2;
    yim2.resize(y.size());
}

```



```

std::vector<double> yim1;
yim1.resize(y.size());
std::vector<double> yi;
yi.resize(y.size());

yim3=y;

// Рунге-Кутта для первых 3х шагов
for (int i=0; i<3; i++)
{
    std::vector<double> k1 = f(t, y);
    std::vector<double> yk1;
    for (int i=0; i<y.size(); i++)
        yk1.push_back(y[i]+h*k1[i]/2);
    std::vector<double> k2 = f(t + h / 2, yk1);
    std::vector<double> yk2;
    for (int i=0; i<y.size(); i++)
        yk2.push_back(y[i]+h*k2[i]/2);
    std::vector<double> k3 = f(t + h / 2, yk2);
    std::vector<double> yk3;
    for (int i=0; i<y.size(); i++)
        yk3.push_back(y[i]+h*k3[i]/2);
    std::vector<double> k4 = f(t + h, yk3);

    for (int i=0; i<y.size(); i++)
    {
        double delta = h / 6 * (k1[i] + 2 * k2[i] + 2 * k3[i] + k4[i]);
        y[i] += delta;
    }

    switch (i)
    {
    case 0:
    {
        yim2=y;
        break;
    }
    case 1:
    {
        yim1=y;
        break;
    }
    }
    t += h;
    for (int i=0; i<y.size()-1; i++)
        *csv << y[i] << ", ";
    *csv << y[y.size()-1] << std::endl;
}
yi = y;

// Милн-Симпсон
while (t < t1)
{
    //предиктор - Милн
    std::vector<double> ki = f(t, yi);
    std::vector<double> kiM1 = f(t-h, yim1);
    std::vector<double> kiM2 = f(t-2*h, yim2);
    std::vector<double> y_;
    y_.resize(y.size());

    for (int i=0; i<y.size(); i++)
    {
        y_[i] = yim3[i] + 4*h/3 * (2*ki[i] - kiM1[i] + 2*kiM2[i]);
    }

    std::vector<double> kiP1 = f(t+h, y_);

```

```

    for (int i=0; i<y.size(); i++)
    {
        y[i] = yim1[i] + h/3 * (kiP1[i] + 4*ki[i] + kiM1[i]);
    }
    t+=h;

    yim3 = yim2;
    yim2 = yim1;
    yim1 = yi;
    yi = y;

    for (int i=0; i<y.size()-1; i++)
        *csv << y[i] << ", ";
    *csv << y[y.size()-1] << std::endl;
}
}

```

2 Реализация сборки библиотек динамической компоновки

Библиотеки динамической компоновки (DLL, Dynamic-Link Libraries) — это файлы, содержащий исполняемый код и данные, которые могут использоваться сразу несколькими программами одновременно. В Windows они имеют расширение .dll, в Unix-подобных системах — .so (shared object). Представленные выше функции были реализованы на основе DLL операционной системы Windows. DLL — это библиотеки позднего связывания. Позднее связывание означает, что адреса функций и сам код библиотеки не встраиваются в исполняемый файл на этапе компиляции или сборки, а находятся и подключаются уже после запуска программы, в момент, когда операционная система загружает DLL в память.

В качестве инструмента разработки была выбрана среда разработки CLion. Она поддерживает управление проектами, возможность сборки и отладки как исполняемых файлов, так и библиотек динамической компоновки (DLL).

CLion не использует собственные системы сборки, а полагается на CMake: в корне проекта достаточно описать CMakeLists.txt, и IDE сама вызовет CMake, сгенерирует проектные файлы, подхватит флаги компиляции, пути к заголовкам и библиотекам, после чего обеспечит полноценную навигацию, рефакторинг и отладку.

Для Windows-версии DLL в настройках конфигурации проекта явно задан генератор «Visual Studio 17 2022» и соответствующий тулчейн MSVC 17. Это значит, что CLion делегирует всю работу по компиляции и линковке фирменному компилятору Microsoft: исходники собираются в *.obj-файлы, затем линковщик LINK.exe формирует из них динамическую библиотеку *.dll и сопутствующий import-lib *.lib, который впоследствии можно подключать к внешним проектам.

Инструкции сборки Cmake для проекта представлены в листинге 4.

Листинг 3: Инструкции Cmake по сборке проекта

```

cmake_minimum_required(VERSION 3.31)
project(mms1)

```

```

set(CMAKE_CXX_STANDARD 20)

add_executable(main main.cpp)

add_library(RungeKutta SHARED RungeKutta.cpp)

add_library(Adams_Bashforth_Moulton SHARED Adams_Bashforth_Moulton.cpp)

add_library(Milne_Simpson SHARED Milne_Simpson.cpp)

```

Функция `add_executable` указывает на сборку компонента `main.cpp` проекта в .exe файл. А функции `add_library(SHARED)` указывают компилятору на сборку динамических библиотек (.dll) из исходных файлов `RungeKutta.cpp`, `Adams_Bashforth_Moulton.cpp` и `Milne_Simpson.cpp`.

Для подключения .dll библиотек к проекту нужно подключить директиву `<windows.h>`. Код программы по объявлению и вызову функций для решения задачи Коши представлены в листинге 5.

Листинг 3: Подключение внешних функций из .dll

```

#include <windows.h>

HMODULE dll1 = LoadLibrary("RungeKutta.dll");
typedef int FT1(std::vector<double>(double, std::vector<double>&), std::vector<double>&,
double, double, double, std::ofstream*);
FT1* RungeKutta = (FT1*)GetProcAddress(dll1, "RungeKutta");

HMODULE dll2 = LoadLibrary("Adams_Bashforth_Moulton.dll");
typedef int FT2(std::vector<double>(double, std::vector<double>&), std::vector<double>&,
double, double, double, std::ofstream*);
FT2* Adams_Bashforth_Moulton = (FT2*)GetProcAddress(dll2, "Adams_Bashforth_Moulton");

HMODULE dll3 = LoadLibrary("Milne_Simpson.dll");
typedef int FT3(std::vector<double>(double, std::vector<double>&), std::vector<double>&,
double, double, double, std::ofstream*);
FT3* Milne_Simpson = (FT3*)GetProcAddress(dll3, "Milne_Simpson");

RungeKutta(System, y, t0, t1, h, &csv1);
Adams_Bashforth_Moulton(System, y, t0, t1, h, &csv3);
Milne_Simpson(System, y, t0, t1, h, &csv2);

```

Для корректного экспорта функций из DLL и их импорта в EXE проект используют макросы: `extern "C" __declspec(dllexport) void Milne_Simpson()`. Когда DLL проект компилируется, функции помечаются как экспортируемые (`dllexport`). В других проектах, подключающих DLL, этот макрос меняет поведение на импорт (`dllimport`).

Итоговая структура взаимодействия выглядит следующим образом: проект DLL содержит реализованные функции и экспортирует их с помощью специальных макросов. Компилятор формирует динамическую библиотеку (DLL) и соответствующий файл LIB, который затем используется в основном EXE-проекте. Приложение подключает заголовочные файлы DLL и импортирует LIB, а при запуске загружает саму библиотеку, получая доступ к её функциям во время выполнения.

Такой подход позволяет создавать многократно используемые и легко обновляемые библиотеки: при изменении или замене DLL нет необходимости перекомпилировать основной проект. Это существенно упрощает поддержку и развитие программного обеспечения, поскольку изменения внутри библиотеки не затрагивают код исполняемого файла, обеспечивая при этом модульность и гибкость архитектуры.

Использование библиотек динамической компоновки (DLL) делает возможным подключение реализованных численных методов к основной программе непосредственно во время выполнения. Благодаря этому можно добавлять новые алгоритмы решения систем обыкновенных дифференциальных уравнений (СОДУ) без пересборки основного приложения — достаточно создать новую DLL с нужной функцией и указать путь к ней. При запуске программа динамически подгружает выбранную библиотеку и обращается к её функциям, что устраняет необходимость перекомпиляции EXE-файла. В результате система приобретает модульную и легко расширяемую архитектуру.

3 Получение аналитического решения СОДУ

Выделим часть исходной системы:

$$\begin{cases} \frac{dy_1}{dt} = -k_{abs} \cdot y_1; \\ \frac{dy_2}{dt} = k_{abs} \cdot y_1 - (k_1 + k_{el}) \cdot y_2 + k_2 \cdot y_3; \\ \frac{dy_3}{dt} = k_1 \cdot y_2 - k_2 \cdot y_3; \end{cases} \quad (5)$$

Данная подсистема представляет собой систему линейных однородных дифференциальных уравнений, разреженных относительно производных, которую можно записать в виде:

$$\dot{\mathbf{y}}(t) = \mathbf{A}\mathbf{y}(t) \quad (6)$$

где $\mathbf{A} = a_{i,j}$ - матрица из коэффициентов системы, $\dot{\mathbf{y}}(t)$ - вектор производных, $\mathbf{y}(t)$ - вектор функций.

Систему (5) можно решить с помощью метода Эйлера. Решение системы (5) в общем виде имеет вид:

$$\mathbf{y}(t) = C_1 e^{\lambda_1 t} \mathbf{e}_1 + C_2 e^{\lambda_2 t} \mathbf{e}_2 + C_3 e^{\lambda_3 t} \mathbf{e}_3 \quad (7)$$

где λ_i - собственные числа матрицы \mathbf{A} , \mathbf{e}_i - собственные векторы матрицы \mathbf{A} , C_i - некоторые константы.

Для нахождения собственных чисел λ_i матрицы нужно решить следующее матричное уравнение (8):

$$|\mathbf{A} - \lambda \mathbf{E}| = 0 \quad (8)$$

Получаем:

$$\begin{vmatrix} -K_{abs} - \lambda & 0 & 0 \\ K_{abs} & -(K_1 + K_{el}) - \lambda & K_2 \\ 0 & K_1 & -K_2 - \lambda \end{vmatrix} = 0 \quad (9)$$

После решения данного уравнения получаем:

$$\begin{cases} \lambda_1 = -K_{abs}, \\ \lambda_2 = \frac{-(k_1 + k_{el} + k_2) + \sqrt{(k_1 + k_{el} + k_2)^2 - 4 k_2 k_{el}}}{2}, \\ \lambda_3 = \frac{-(k_1 + k_{el} + k_2) - \sqrt{(k_1 + k_{el} + k_2)^2 - 4 k_2 k_{el}}}{2}, \end{cases} \quad (10)$$

Для нахождения собственных векторов нужно решить слудующее матричное уравнение, подставив туда λ_i :

$$[\mathbf{A} - \lambda \mathbf{E}] \mathbf{e}_i = 0 \quad (11)$$

После подстановки λ получаем систему линейных алгебраических уравнений, которые решаются методом Гаусса в программной реализации. Константы C_i вычисляются путем подстановки начальных условий в получившиеся уравнения.

Оставшиеся 3 уравнения для $\dot{x}_1, \dot{x}_2, \dot{x}_3$ являются обыкновенными дифференциальными уравнениями с разделяющимися переменными. Переменная y_2 становится константой, так как вычисляется в первой подсистеме.

После интегрирования соответствующих уравнений получаем следующие выражения для $\dot{x}_1, \dot{x}_2, \dot{x}_3$:

$$\begin{cases} x_1 = C_1 e^{-K_{12}t} + \frac{K_{13} - K_{11} * y_2}{K_{12}}, \\ x_2 = C_2 e^{-K_{22}t} + \frac{K_{23} - K_{21} * y_2}{K_{22}}, \\ x_3 = C_3 e^{-K_{32}t} + \frac{K_{33} - K_{31} * y_2}{K_{32}} \end{cases} \quad (12)$$

где константы C_i вычисляются путем подстановки начальных условий в полученные уравнения и решения соответствующей СЛАУ.

Программная реализация расчета дискретных значений аналитического решения СОДУ представлена в листинге 4.

Листинг 4: Аналитическое решение СОДУ

```
std::vector<double> analytical_solution(double t, std::vector<std::vector<double>> initial)
{
    // Initial - начальные условия; задаются как initial = {t, c}, где yi(t) = c
    // Решение системы
    std::vector<double> y;
    y.resize(6);

    // Решение первой подсистемы из y1 y2 y3 методом Эйлера
```

```

// Собственные числа лямбда  $|A - \lambda E| = 0$ 
double lambda_1 = Kabs[M];
double lambda_2 = ((-1)*(K1[M]+Kel[M]+K2[M]) + (sqrt((K1[M]+Kel[M]+K2[M])*(K1[M]
+Kel[M]+K2[M])-4*K2[M]*Kel[M])))/2;
double lambda_3 = ((-1)*(K1[M]+Kel[M]+K2[M]) - (sqrt((K1[M]+Kel[M]+K2[M])*(K1[M]
+Kel[M]+K2[M])-4*K2[M]*Kel[M])))/2;

// Собственные векторы для лямбда  $|A - \lambda E| = 0$ 
std::vector<double> e1;
std::vector<double> e2;
std::vector<double> e3;

std::vector<std::vector<double>> A1 = {
    {-Kabs[M]-lambda_1, 0, 0},
    {Kabs[M], -(K1[M]+Kel[M])-lambda_1, K2[M]},
    {0, K1[M], -K2[M]-lambda_1}
};
std::vector<std::vector<double>> A2 = {
    {-Kabs[M]-lambda_2, 0, 0},
    {Kabs[M], -(K1[M]+Kel[M])-lambda_2, K2[M]},
    {0, K1[M], -K2[M]-lambda_2}
};
std::vector<std::vector<double>> A3 = {
    {-Kabs[M]-lambda_3, 0, 0},
    {Kabs[M], -(K1[M]+Kel[M])-lambda_3, K2[M]},
    {0, K1[M], -K2[M]-lambda_3}
};

std::vector<double> b = {0,0,0};

e1 = gauss(A1,b);
e2 = gauss(A3,b);
e3 = gauss(A3,b);

// вычисление C из начальных условий  $RC = I$  для y
std::vector<double> C;

std::vector<std::vector<double>> R = {
    {exp(lambda_1*initial[0][0])*e1[0], exp(lambda_2*initial[0][0])*e2[0],
    exp(lambda_3*initial[0][0])*e3[0]},
    {exp(lambda_1*initial[1][0])*e1[1], exp(lambda_2*initial[1][0])*e2[1],
    exp(lambda_3*initial[1][0])*e3[1]},
    {exp(lambda_1*initial[2][0])*e1[2], exp(lambda_2*initial[2][0])*e2[2],
    exp(lambda_3*initial[2][0])*e3[2]}
};

std::vector<double> I = {initial[0][1], initial[1][1], initial[2][1]};

C = gauss(R,I);

for (int i=0; i<3;i++)
    y[i] = C[0]*exp(lambda_1*t)*e1[i] + C[1]*exp(lambda_2*t)*e2[i] + C[2]*exp(lambda_3*t)*e3[i];

// вычисление C из начальных условий  $RC = I$  для x
double C4 = (initial[3][1] - (K13[M]-K11[M]*y[1])/(K12[M]) * exp(K12[M]*initial[3][0]));
double C5 = (initial[4][1] - (K23[M]-K21[M]*y[1])/(K22[M]) * exp(K22[M]*initial[4][0]));
double C6 = (initial[5][1] - (K33[M]-K31[M]*y[1])/(K32[M]) * exp(K32[M]*initial[5][0]));

y[3] = C4/exp(K12[M]*t) + (K13[M]-K11[M]*y[1])/(K12[M]);
y[4] = C5/exp(K22[M]*t) + (K23[M]-K21[M]*y[1])/(K22[M]);
y[5] = C6/exp(K32[M]*t) + (K33[M]-K31[M]*y[1])/(K32[M]);

return y;
}

```

4 Решение задачи Коши

В результате применения методов (2), (3), (4) и аналитического решения были получены решения задачи Коши для шага $h = 0.1$ и конечном шаге h_{max} для случаев без прогрессирования заболевания M^- и с прогрессированием M^+ . Эти данные были записаны в файлах `RungeKutta.csv`, `Adams_Bashforth_Moulton.csv`, `Milne_Simpson.csv` и `Analytical_solution.csv` для метода Рунге-Кутты, Адамса-Башфорта-Моултона, Милна-Симпсона и эталонного решения соответственно. На основе полученных результатов были построены графики, приведенные на рисунках (5), 2, 3, 4.

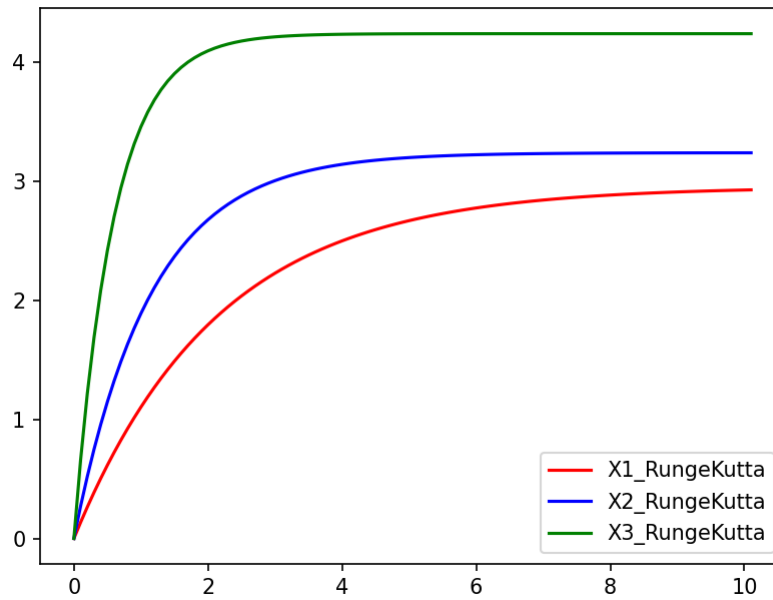


Рис. 1. Решения СДУ, полученные методом Рунге-Кутты 4-го порядка (M^+)

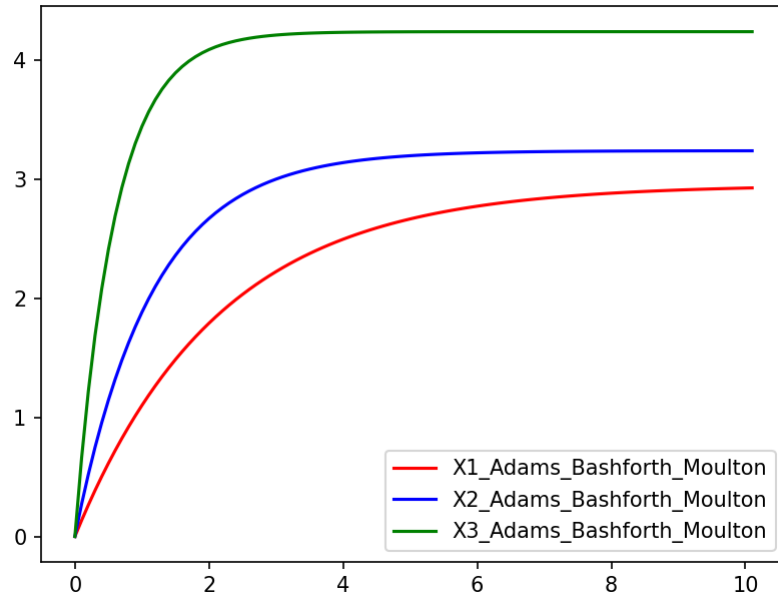


Рис. 2. Решения СОДУ, полученные методом Адамса-Башфорта-Моултона 4-го порядка (M^+)

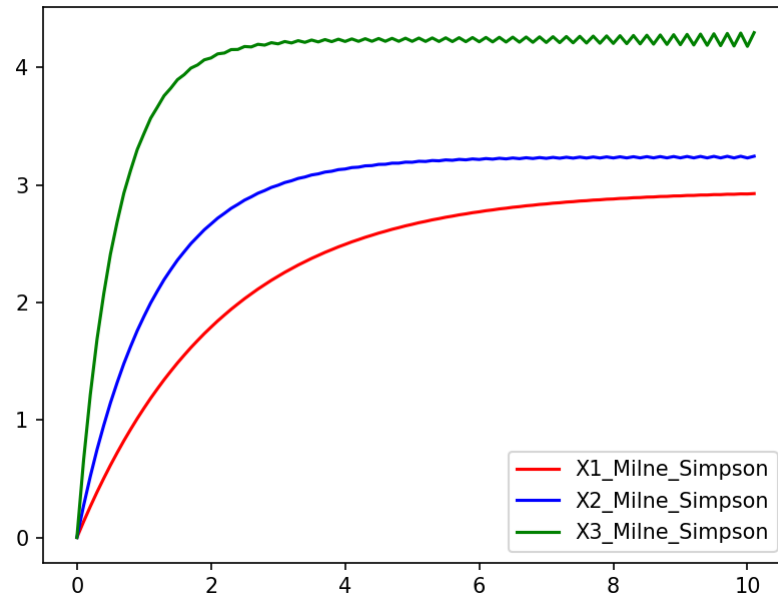


Рис. 3. Решения СОДУ, полученные методом Милна-Симпсона (M^+)

Осцилляции решения, полученного методом Милна-Симпсона при большом времени интегрирования связано с численной неустойчивостью метода.

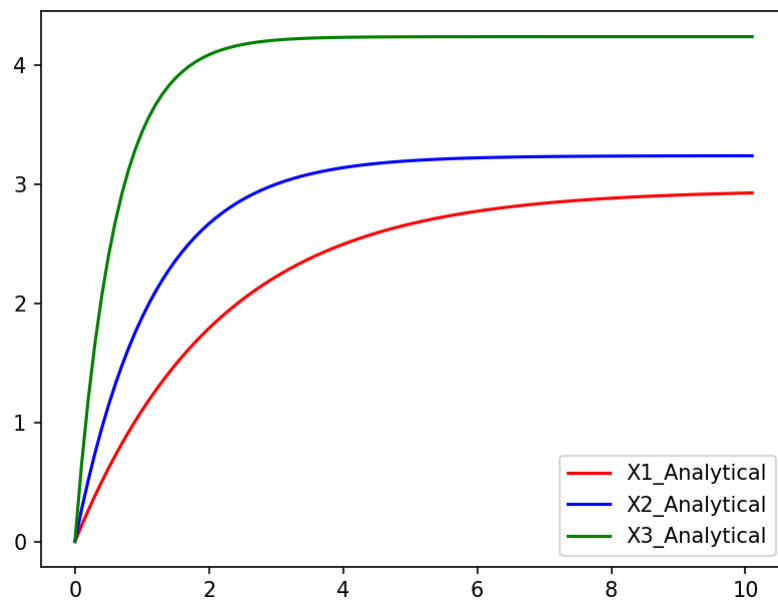


Рис. 4. Решения СОДУ, полученные аналитическим путем (M^+)

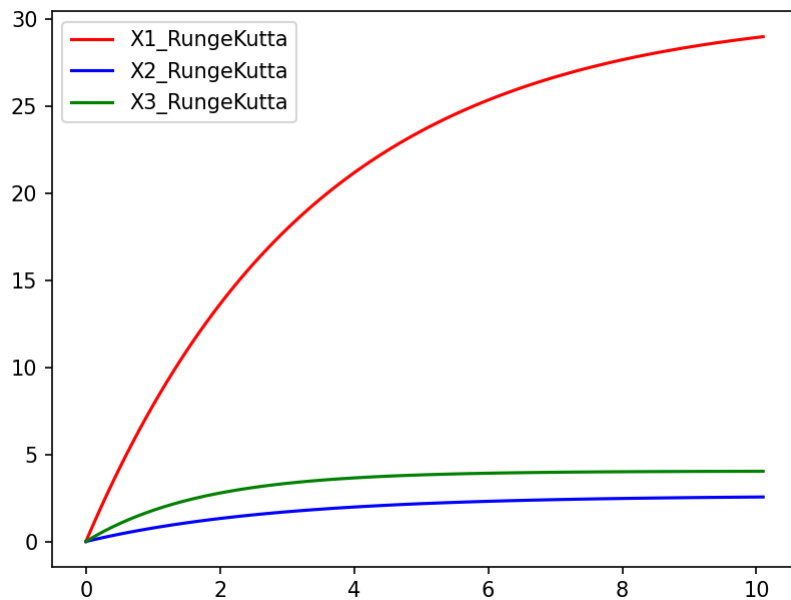


Рис. 5. Решения СОДУ, полученные методом Рунге-Кутты 4-го порядка (M^-)

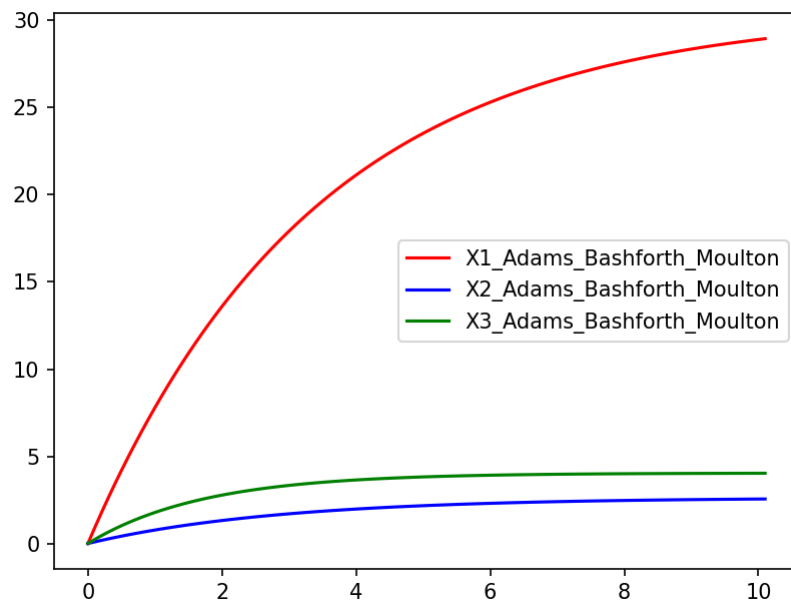


Рис. 6. Решения СОДУ, полученные методом Адамса-Башфорта-Моултона 4-го порядка (M^-)

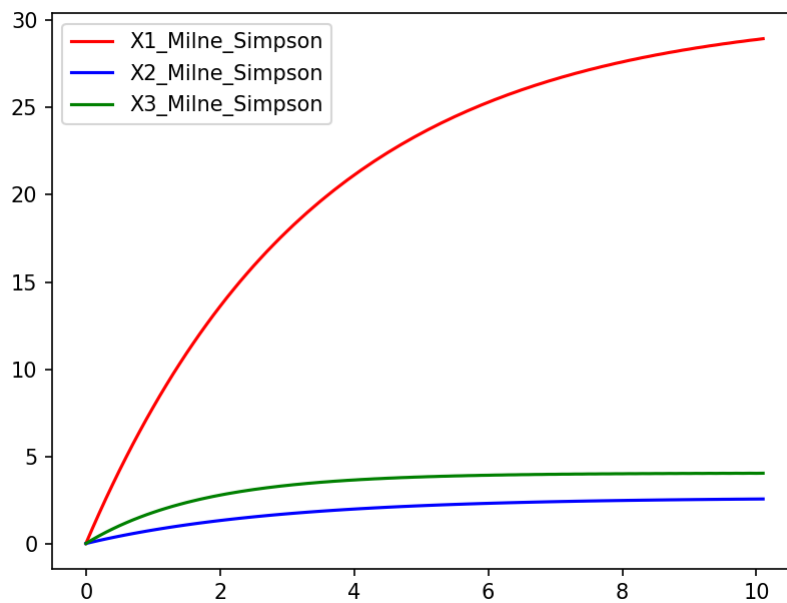


Рис. 7. Решения СОДУ, полученные методом Милна-Симпсона (M^-)

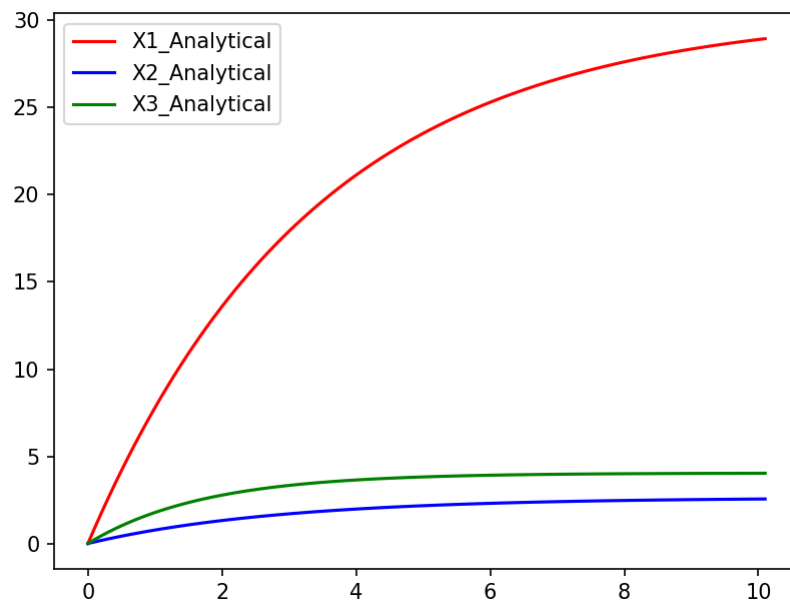


Рис. 8. Решения СОДУ, полученные аналитическим путем (M^-)

5 Сравнение результатов

Сравнение результатов решения, полученных разными методами для случаев без прогрессирования заболевания M^- и с прогрессированием M^+ приведено на рисунках (9) и (10) соответственно.

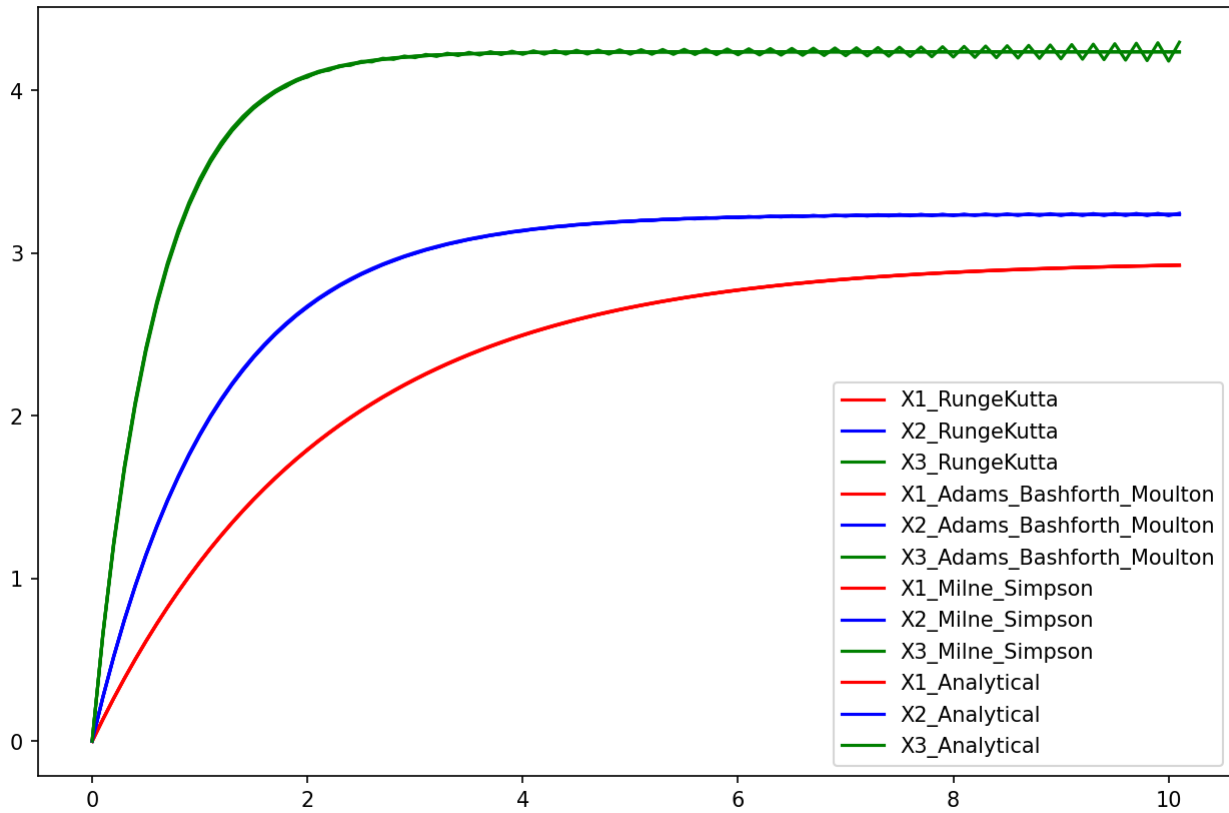


Рис. 9. Решения СОДУ для случая без прогрессирования заболевания (M^-)

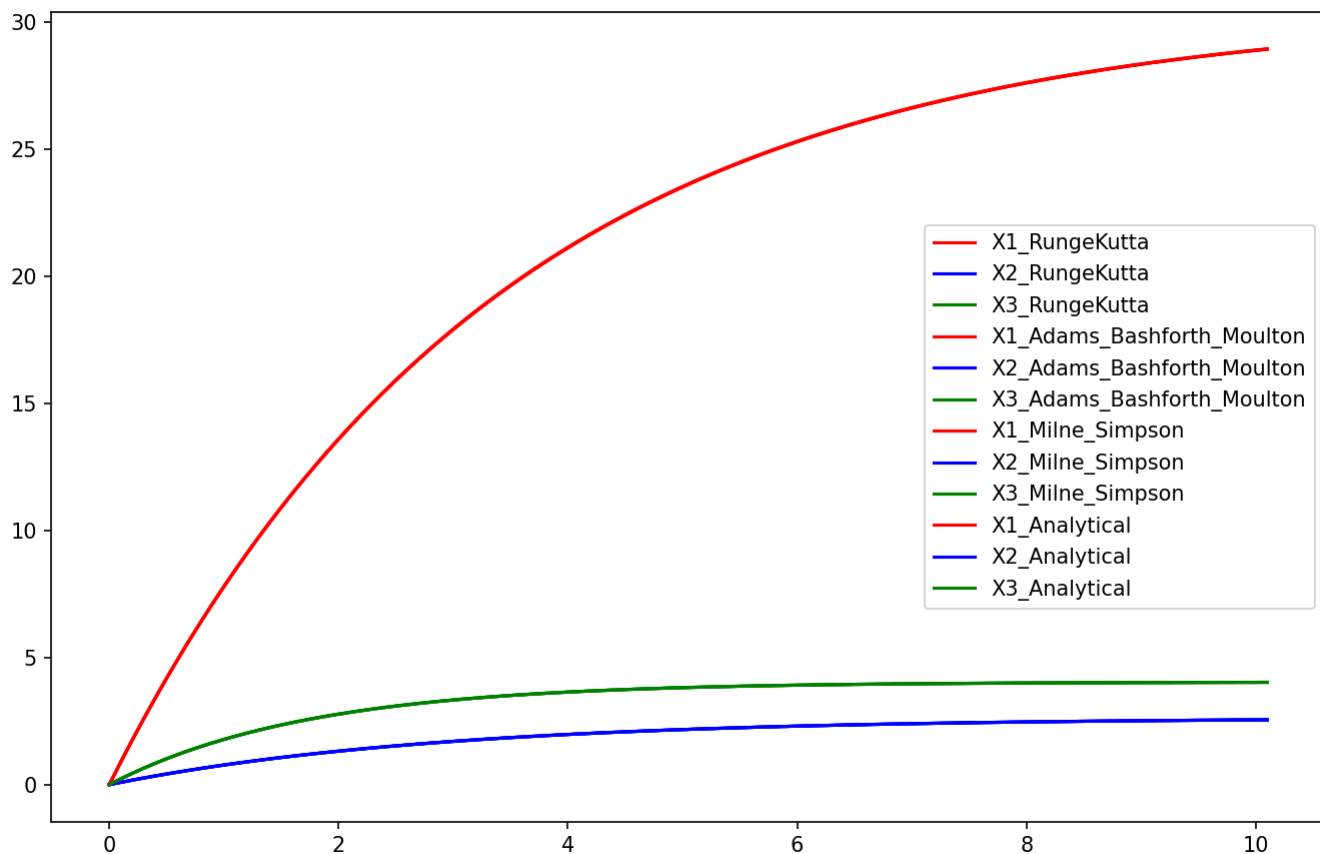


Рис. 10. Решения СОДУ, с прогрессированием заболевания (M^-)

6 Постановка обратной задачи и метод решения

В общем случае при решении задач восстановления параметров математических моделей на основе экспериментальных данных возникает некорректность — малые погрешности в исходных данных могут приводить к большим отклонениям искомых параметров.

Согласно определению Ж. Адамара, задача считается корректной, если решение существует, единственно и устойчиво по отношению к малым возмущениям исходных данных.

Если хотя бы одно из этих условий нарушено, задача является некорректной. Такие задачи часто встречаются при идентификации коэффициентов в динамических системах, описываемых системами обыкновенных дифференциальных уравнений, когда параметры модели восстанавливаются на основе наблюдаемых траекторий состояний.

В классической форме некорректная задача записывается в виде операторного уравнения:

$$Au = f^S \quad (13)$$

где A - линейный или нелинейный оператор, f^S - правая часть, заданная с погрешностью.

Вариационный метод предлагает искать приближенное решение в виде минимума функционала невязки:

$$J_0(v) = \|Av - f^S\| \quad (14)$$

Однако при наличии ошибок в f^S такое решение оказывается неустойчивым. Для стабилизации решения А. Н. Тихонов предложил добавлять сглаживающий член, отражающий априорную информацию о решении, что приводит к функционалу:

$$J_a(v) = \|Av - f^S\|^2 + \alpha \|v\|^2 \quad (15)$$

где $\alpha > 0$ - параметр регуляризации, контролирующий компромисс между точностью и устойчивостью.

Пусть K - вектор неизвестных коэффициентов модели реакции пациента на лекарственный препарат. Тогда оператор $F(K) = x(t; K)$ определяет отображение от параметров модели к её решению. На практике значения $x_i(t)$ известны лишь в дискретные моменты времени t_j . Требуется определить такие коэффициенты K , при которых решения системы ОДУ наилучшим образом согласуется с наблюдаемыми данными $x_i^*(t_j)$. Таким, образом, обратная задача сводится к минимизации функционала невязки:

$$J_0(K) = \sum_{i=1} \sum_{j=1} \left(x_i(t_j, K) - x_i^*(t_j) \right)^2 \quad (16)$$

Однако задача идентификации коэффициентов является некорректной, поскольку малые ошибки в исходных данных могут вызывать значительные колебания найденных параметров. Для стабилизации решения применяется метод регуляризации Тихонова. С учётом априорной информации о допустимых диапазонах параметров и их типичных значениях K^* вводится регуляризованный функционал:

$$\min_{K \in [K_{\min}, K_{\max}]} J_0(K) = \sum_{i=1} \sum_{j=1} \left(x_i(t_j, K) - x_i^*(t_j) \right)^2 + \lambda \sum_{m=1} \left(\frac{K_m - K_m^*}{\Delta K_m} \right)^2 \quad (17)$$

где λ - параметр регуляризации, ΔK_m - априорно известная ширина диапозона изменения параметра K_m

Минимизация функционала, описанного выше, можно провести с помощью итерационного метода Левенберга–Марквардта, который сочетает в себе градиентный спуск и метод Гаусса–Ньютона. На каждой итерации вычисляется направление коррекции коэффициентов p_k , который вычисляется из системы:

$$(J^T(\Theta_k)J(\Theta_k + \lambda_k I)p_k = -J^T(\Theta_k)f(\Theta_k) \quad (18)$$

где $f(\Theta)$ - определяется как вектор невязки между моделируемыми и эталонными данными, $f(\Theta_K)$ - якобиан $f(\Theta)$ по Θ , $\lambda_k \geq 0$ - параметр, подбираемый для обеспечения монотонного уменьшения функции невязки, I - единичная матрица

Коэффициенты обновляются по правилу:

$$\Theta_{k+1} = \Theta_k + p_k \quad (19)$$

Итерации продолжаются до сходимости функции невязки, при этом регуляризация λ предотвращает чрезмерное отклонение коэффициентов от заданных диапазонов.

Заключение

1. В результате проделанной работы были реализованы три метода численного решения задачи Коши для системы ОДУ 1-го порядка. Каждый из этих методов имеет как своих недостатки, так и определенные достоинства.
2. Были приобретены навыки работы с динамическими библиотеками
1. Першин А.Ю. Лекции по курсу «Вычислительная математика». Москва, 2018-2021. С. 140.
2. <https://docs.scipy.org/doc/scipy/reference/generated/scipy.optimize.root.html>
3. Cruz William, Martínez José, Raydan Marcos. Spectral Residual Method without Gradient Information for Solving Large-Scale Nonlinear Systems of Equations // Math. Comput. 2006. 07. Т. 75. С. 1429–1448.

Выходные данные

Юрченко А.А.. Отчет о выполнении лабораторной работы по дисциплине «Методы математического моделирования сложных процессов и систем». [Электронный ресурс] — Москва: 2025. — 24 с. URL: <https://sa2systems.ru:88> (система контроля версий кафедры РК6)

Постановка:



д-р тех. наук, профессор кафедры САПР А.П. Соколов

Решение и вёрстка:



студент группы РК6-11М, Юрченко А.А.

2025, осенний семестр